

黄喉鹀高级发声中枢及其壳区的神经投射 和 P 物质在发声听觉中枢的分布

张信文¹, 曾少举², 李 佳², 马 骏², 左明雪^{2,3}

(1. 海南师范学院 生物学系, 海南 海口 571158, zhangxw2844@sina.com; 2. 北京师范大学 生命科学学院, 北京 100875)

摘要: 用生物素示踪法和 P 物质 (SP) 免疫组化技术研究表明: 黄喉鹀的高级发声中枢 (HVC) 接受端脑听区 (L)、新纹状体中部界面核、新纹状体巨细胞核 (MAN)、丘脑葡萄形核、桥脑蓝斑核的传入, 并有神经纤维投射到古纹状体壳核 (RA) 和嗅叶 X 区 (X); HVC 壳投射到 RA 壳并接受 L 的传入。听觉控制与学习通路发声中枢之间有许多神经联系, 提示黄喉鹀发声学习依赖于听觉反馈。在 HVC、RA 和 MAN 有 SP 阳性细胞体, 在 X、中脑背内侧核和延髓舌下神经核气管鸣管部、丘脑卵圆核壳区、中脑背外侧核壳区及中脑丘间核有 SP 阳性纤维和终末。SP 广泛分布于发声-听觉中枢, 可能参与了它们的活动。

关键词: 黄喉鹀; 发声核团; 听觉中枢; 神经投射; P 物质

中图分类号: Q42; Q959.739 **文献标识码:** A **文章编号:** 0254-5853(2003)02-0116-05

Projections of the High Vocal Center and Its Shell, and Distribution of Substance P in the Vocal- Auditory Center in *Emberiza elegans*

ZHANG Xin-wen¹, ZENG Shao-ju², LI Jia², MA Jun², ZUO Ming-xue²

(1. Department of Biology, Hainan Normal University, Haikou 571158, China;

2. College of Life Science, Beijing Normal University, Beijing 100875, China)

Abstract: Using the neural tracer biotinylated dextran amine and the immunohistochemical methods, we found that high vocal center (HVC) in *Emberiza elegans* received projections from the auditory area-field (L), nucleus interfascialis of midneostriatum, magnocellular nucleus of the anterior neostriatum (MAN), nucleus uvulaeformis, and locus ceruleus of pons; HVC projected to the robust archistriatum (RA) and area X of lobus (X). HVC shell projected to the RA cup and received from L. As there were many neural connections among the vocal control and learning pathway, and the auditory center, vocal learning may depend on a feedback of listening senses. Substance P (SP) labeled neurons distributed in HVC, RA and MAN. SP labeled fibers and terminals distributed in X, the nucleus dorsalis medialis, the nucleus hypoglossi, pars tracheosyringalis, the nucleus ovoidalis shell, the shell of mesencephalicus lateralis, pars dorsalis, and the nucleus intercollicularis. SP widely distributed in vocal-auditory centers, and may involve in their activities.

Key words: *Emberiza elegans*; Vocal nucleus; Auditory center; Nervous projection; Substance P

鸣禽的鸣啭是一种习得性行为, 是除人类语言之外最复杂的发声行为活动, 且与人类语言的学习过程有相似性 (Nottebohm et al, 1990; Doupe & Kuhl, 1999)。因此, 研究鸟类发声的机理有助于

对人类语言及中枢调控机理的理解。近年来国内外对鸟类鸣啭的神经机制研究表明, 发声的控制系统主要由一条控制通路 (输出) 和一条学习与记忆回路组成 (Brainard & Doupe, 2000; Burt et al,

收稿日期: 2002-07-08; 接受日期: 2002-12-16

基金项目: 国家自然科学基金资助项目 (39960014, 39870097, 30060027); 教育部、海南省骨干教师资助项目

3. 通讯作者

2000)。端脑的高级发声中枢 (high vocal center, HVc) 接受听觉传入投射 (Vates et al, 1997)。听觉中枢和发声中枢周围存在壳式结构, 包括 HVc、古纹状体核 (robust archistriatum, RA)、丘脑背外侧核内侧部 (dorsolateral nucleus of the anterior thalamus, DLM)、中脑背外侧核 (mesencephalic lateral, pars dorsalis, MLd)、中脑丘间核 (nucleus intercollicularis, ICo), 以及丘脑卵圆核 (nucleus ovoidalis, OV) 壳或壳区 (Veenman et al, 1995; Vates et al, 1996)。这些壳式结构也参与听觉和发声的活动 (Mello et al, 1998)。

P 物质 (substance P, SP) 是 11 个氨基酸组成的速激肽。作为脑内的一种神经调质, 它广泛分布于哺乳动物中枢神经系统内, 参与抑制和兴奋多种神经递质的释放 (Nakanishi, 1991; Otsuka, 1993; Liu & Ju, 1998)。

为揭示 HVc 及其壳区对鸟类鸣啭学习与控制的神经机制, 我们用神经投射双向示踪法及 SP 免疫组织化学方法, 对鸣禽黄喉鸲 HVc 及其壳区的神经投射, 以及 SP 在发声控制系统中的分布做了探索。

1 材料和方法

1.1 实验动物

选用成年黄喉鸲 46 只 (♂ 35, ♀ 11; 体重 12 ~ 17 g), 分为 3 组: 其中 26 只 (♂ 20, ♀ 6) 用于 HVc 核注射, 12 只 (♂ 8, ♀ 4) 用于 HVc 壳注射, 8 只 (♂ 7, ♀ 1) 用于 SP 免疫组织化学实验。

1.2 试剂和仪器

所用神经投射双向示踪剂为生物素结合的葡聚糖胺 (biotinylated dextran amine, BDA) 和霍乱毒素辣根过氧化物酶 (cholera toxin horseradish peroxidase, CTHRP), 均为 Sigma 产品。ABC 复合物 (Avidin-Biotin-Complex) 为 Vector 公司产品, 用 1:200, 0.03% 的 Triton X-100 的 0.1 mol/L 磷酸缓冲液稀释。SP 免疫组织化学试剂为 1:200 的抗 SP 血清 (Santa Cruz Corp.)。显微注射用四道压力程控显微注射仪 (BioProbes, PM 2000B4Z 型, 美国 Molecular Probe 公司)。

1.3 神经投射双向示踪法

10% 氨基甲酸乙酯 (1 mL/100 g) 麻醉动物, 固定在鸟头立体定位仪上。对 HVc 注射组, 用尖端外径 40 μm 的玻璃微电极将 5% 0.02 μL 的 BDA

(或 CTHRP) 溶液经四道压力程控显微注射仪注入 HVc (脑立体座标 $P = 0.1 \sim 0.2 \text{ mm}$, $L/R = 2.6 \sim 2.7 \text{ mm}$, $H = 0.4 \sim 0.5 \text{ mm}$)。对 HVc 壳注射组, 注射范围依据 Vates et al (1997) 的定位, HVc 壳的界线可达 HVc 外缘的 0.5 ~ 0.8 mm。用直径 80 μm 的金属微电极, 电流强度 1 ~ 2 mA (稳压直流), 通电 30 s 左右, 损毁 HVc 内外侧两点, 每点损毁半径 0.2 ~ 0.3 mm, 损毁深度 0.3 ~ 0.5 mm; 然后将 BDA (或 CTHRP) 0.02 μL 注入 HVc 的腹侧壳区 (壳区厚度 0.5 ~ 0.8 mm)。

BDA 处理组动物存活 4 d (CTHRP 组 2 d), 左心室灌流后用含 4% 多聚甲醛的 0.1 mol/L 磷酸缓冲液 (pH 7.4) 固定, 在 30% 蔗糖的 0.1 mol/L 磷酸缓冲液中过夜。切制 40 μm 的脑额状或矢状冰冻切片, 隔片取一, 0.1 mol/L 的磷酸缓冲液洗涤, 置 ABC 复合物 4 $^{\circ}\text{C}$ 孵育 12 h, 0.01 mol/L 的磷酸缓冲液漂洗 (pH 7.4), DAB-nickel 成色反应 (CTHRP 用 TMB 成色), 光镜观察。

1.4 SP 免疫组织化学方法

10% 氨基甲酸乙酯深度麻醉动物, 开胸经左心室灌流生理盐水 100 mL 冲洗血液, 再用 150 mL 含 0.2% 戊二醛、4% 多聚甲醛和 0.2% 苦味酸的 0.1 mol/L 的磷酸缓冲液 (pH 7.2) 灌注 15 min。灌毕立即取脑, 浸入 4% 多聚甲醛中固定 4 ~ 8 h, 在 30% 蔗糖的 0.1 mol/L 磷酸缓冲液内 4 $^{\circ}\text{C}$ 过夜。切制 40 μm 矢状冰冻切片, 收集于 0.1 mol/L 磷酸缓冲液 (pH 7.4) 内, 按下述步骤做 SP 免疫组织化学染色: 切片置 1:200 的抗 SP 血清中室温下放置 3 h; Biotin 标记的羊抗兔 IgG 血清 1:200 室温孵育 2 h; ABC 复合物内结合 2 ~ 3 h; DAB (0.05%) 和 H_2O_2 (0.03%) 内呈色 25 min。然后将切片贴于涂有明胶的载片上, 脱水透明, 加拿大中性树胶封片。另一套切片做焦油紫染色, 用于定位 SP 免疫阳性神经纤维、终末和胞体在发声和听觉中枢内的分布区域。黄喉鸲核团的定位和命名以 Zhang & Lan (1994a, b) 的工作为依据。对照实验用正常牛血清代替一抗或省略 SP 一抗。

2 结 果

2.1 HVc 及其壳区的神经投射及标记物的形态分布

2.1.1 HVc 壳区的神经投射 在古纹状体背束 (tractus archistriatalis dorsalis, DA) 有清晰的标记

纤维束,从 HVc 壳发出,向腹侧走行并终止于 RA 壳;顺行标记纤维或终末密集分布在 RA 壳的背外侧区 0.3~0.4 mm 范围内(图 1)。端脑听区(auditory area-field, L)的标记细胞较小,直径 10~14 μm ,突起较少;标记区域可明显分为上、中、下 3 层,即 L1、L2 和 L3, L2 的标记细胞少于另两层(图 2);HVc 壳接受 L 的传入投射。

2.1.2 HVc 的传入投射 HVc 位于新皮层脑室的下方,核团呈长梭形,喙尾长 1.3~1.7 mm,背腹宽 0.3~0.5 mm,内外侧长 1.3~2.2 mm。在一侧 HVc 核内注入 BDA (或 CTRP) 后,可在该侧观察到标记细胞(图 3)。L1、L2、L3 出现较密集的标记细胞。新纹状体中部界面核(nucleus interfascicularis of midneostriatum, NIF)内见到许多以多角形为主的标记细胞,胞体较小,直径 10~14 μm ,突起多而长(图 4)。新纹状体巨细胞核(magnocellular nucleus of the anterior neostriatum, MAN)内、外侧均密布标记细胞(图 5):内侧的胞体较小,直径 11~15 μm ,以多角形为主,少数为三角形;外侧的胞体较大,直径 15~19 μm ,呈星形,突起较多较长。丘脑葡萄形核(nucleus uvulaeformis)有密布的标记细胞(每张切片 50~90 个),多呈圆形或椭圆形;腹侧的标记细胞较小,直径 13~16 μm ;背侧的较大,直径 15~22 μm 。桥脑蓝斑核(locus ceruleus of pons, LoC)出现一些浓重的标记细胞(每张切片 20~50 个),胞体呈三角形或星形,直径 16~22 μm ,突起多而长(图 6)。

2.1.3 HVc 的传出投射 在 RA 见到密集成簇的标记终末,雄性核团(图 7)体积大于雌性。在 DA 见到集成束状的标记纤维,它从 HVc 发出后,向腹侧走行并终止于 RA (图 7)。在嗅叶 X 区(area X of lobus, X)出现了稀疏的标记终末(图 5),雄性核团体积亦大于雌性。

2.2 SP 免疫阳性反应产物的分布

在发声控制通路的四级神经核团和壳区中,在学习与记忆回路的主要高位中枢,在部分听觉中枢和壳区内,以及在与发声-听觉中枢相联系的相关脑区均有 SP 免疫阳性反应产物分布。对照组未见 SP 免疫阳性反应产物。

2.2.1 发声通路 在 HVc 内可见到大量的 SP 免疫阳性神经细胞体(图 8),同时可见许多 SP 免疫阳性神经纤维向 RA 走行。在雄鸟的 X,密集分布 SP 免疫阳性神经纤维、终末和胞体(图 9),雌性较雄性

少。在 MAN 内有散在分布的 SP 免疫阳性神经细胞。在 RA 内布满了 SP 免疫阳性神经细胞。在发声控制的中继核团中,脑背内侧核(nucleus dorsalis medialis, DM)内有密集的 SP 免疫阳性神经纤维或终末,纤维染色较深(图 10);延髓舌下神经核气管鸣管部(nucleus hypoglossi, pars tracheosyringalis, nXII ts)及舌下神经(nervus hypoglossus, N XII)纤维内均可见到较密集的 SP 免疫阳性产物(图 11),同时可见浓密的 SP 免疫阳性 N XII 纤维从延髓向下走行。**2.2.2 听觉通路** 在中继核团 MLd 壳区有密集的 SP 免疫阳性神经纤维和终末(图 10),而 ICo 背侧部(图 10)和 OV 壳区(图 12)有较密集的 SP 免疫阳性神经纤维和终末。

3 讨论

根据本实验结果并结合以往的工作,我们认为,黄喉鸫发声学习与发声控制神经通路各有一条:前者由 HVc→X→DLM→MAN→RA 组成;后者由 HVc→RA (→DM)→nXII ts 组成并支配鸣肌。HVc 壳投射到 RA 壳,并接受端脑听区的传入投射。Zhang & Lan (1994a, b) 的工作表明,中脑发声控制中枢 DM 与听觉中继核团 MLd 有交互神经联系;本研究也表明,在听觉通路与发声中枢之间有许多神经联系,如听觉高位中枢端脑听区最终投射到高位发声控制中枢。Nottebohm et al (1990) 将雌雄幼鸟致聋或隔离饲养,使其失去向亲鸟学习的机会,结果实验鸟失去了鸣啭的功能或识别求偶鸣叫的能力;Brainard & Doupe (2000) 也认为鸣禽发声学习与记忆功能依赖于听觉反馈。我们的实验结果支持上述观察或结论。

本文结果表明,SP 免疫阳性神经细胞和纤维广泛地分布在黄喉鸫发声的控制与学习中枢,同时也分布在部分间脑至延髓的听觉中枢;而在发声中枢的邻近脑区没有 SP 免疫阳性反应产物。在发声学习中枢的嗅叶 X 区、MAN,发声控制的高位中枢 HVc,发声高位运动中枢 RA 均分布有大量的 SP 免疫阳性神经纤维、终末或胞体。在发声控制中枢中脑以下的神经核团,如中脑发声控制中枢 DM 和延髓舌下神经核及舌下神经内均有丰富、密集的 SP 免疫阳性神经纤维或终末分布。在间脑听觉旁通路 OV 壳区、ICo 背侧部和中脑 MLd 壳内有丰富的 SP 免疫阳性神经纤维或终末。根据上述结果我们推测,在鸣禽发声学习记忆及发声控制的形成过

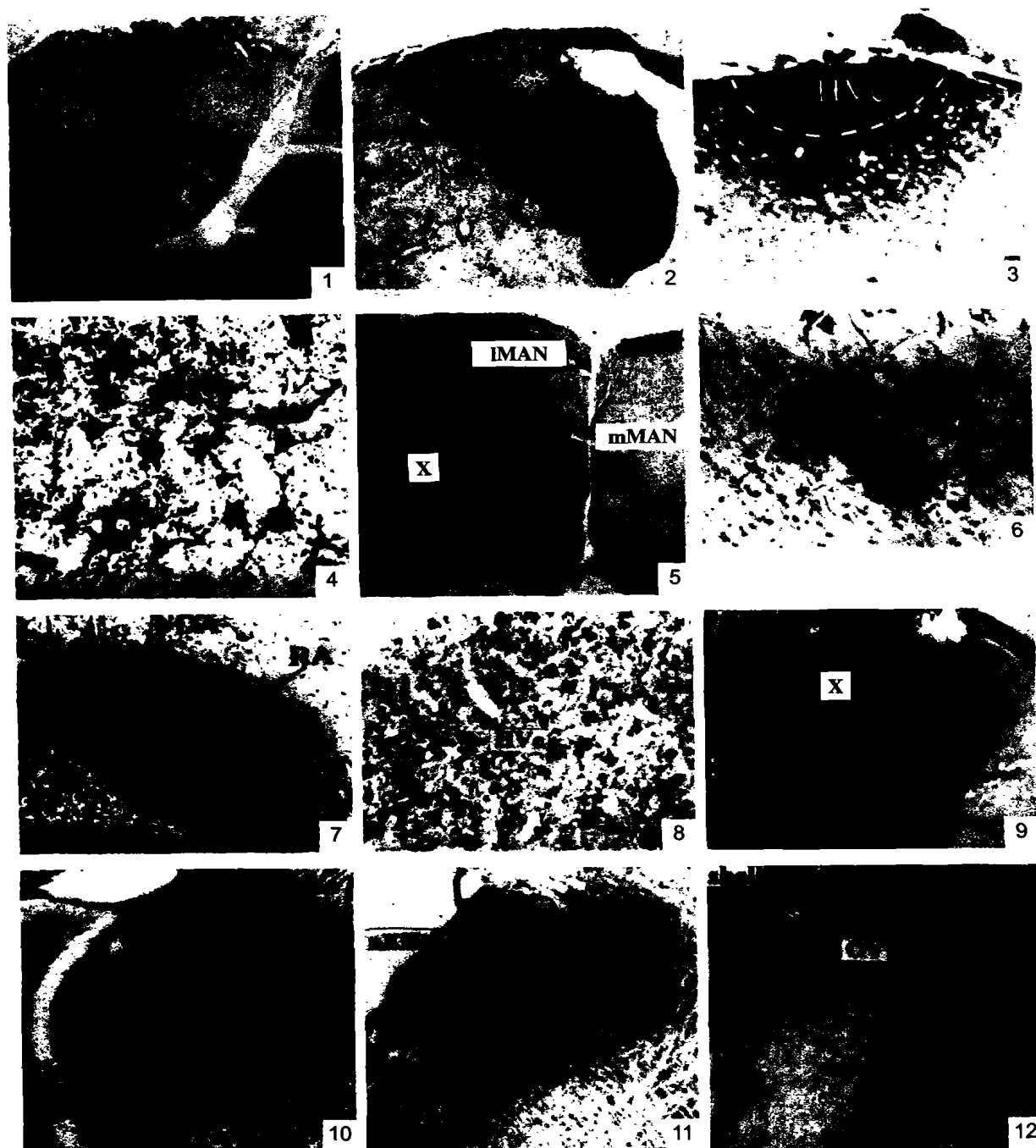


图 1~12 黄喉鹀高级发声中枢及其壳区的神经投射和 P 物质在发声听觉中枢的分布

Figs. 1-12 Projections of the high vocal center and its shell, and distribution of substance P in the vocal-auditory center in *Emberiza elegans*

DA: 古纹状体背束 (Tractus archistriatalis dorsalis); DM: 中脑背内侧核 (Nucleus dorsalis medialis); HVc: 高级发声中枢 (High vocal center); ICo: 中脑丘间核 (Nucleus intercollicularis); LI、L2、L3: 端脑听区 LI、L2、L3 (Auditory area-field L1, L2 and L3); IMAN: 新纹状体巨细胞核外侧部 (Lateral magnocellular nucleus of the anterior neostriatum); LoC: 桥脑蓝斑核 (Locus ceruleus of pons); MLd: 中脑背外侧核 (Mesencephalicus lateralis, pars dorsalis); mMAN: 新纹状体巨细胞核内侧部 (Medial magnocellular nucleus of the anterior neostriatum); NIf: 新纹状体中部界面核 (Nucleus interfascialis of midneostriatum); nXIIIs: 延髓舌下神经核气管鸣管部 (Nucleus hypoglossi, pars tracheosyringalis); NXII: 舌下神经 (Nervus hypoglossus); OV: 丘脑卵圆核 (Nucleus ovoidalis); RA: 古纹状体桥核 (Robust archistriatum); X: 嗅叶 X 区 (Area X of lobus)

1~7 为冠状切片 (上为背侧, 右为内侧), 8~12 为矢状切片 (上为背侧, 右为喙侧) [1-7 are transverse section (dorsalis is on the

over, medialis is on the right); 8-12 are longitudinal section (dorsalis is on the over, beak is on the right)]

1. HVc 壳的 BDA 注射点, RA 壳背侧的标记终末和 DA 的标记纤维 (Injection site of BDA at HVc shell, labeled terminals of the dorsal RA cup and fibers of DA) $\times 20$
2. 在 HVc 壳注射 BDA 后, 端脑听区的 L1、L2 和 L3 区的标记细胞 (After injecting BDA into HVc shell, labelled cells in field L1, L2 and L3) $\times 20$
3. HVc 的 BDA 注射点 (Injection site of BDA at HVc) $\times 40$
4. 在 HVc 注射 BDA 后, Nif 内的标记细胞 (After injecting BDA into HVc, labelled cells in Nif) $\times 400$
5. 在 HVc 注射 BDA 后, mMAN 和 lMAN 内的标记细胞及 X 内的标记纤维和终末 (After injecting BDA into HVc, labelled cells in mMAN and lMAN, and labelled terminals and fibers in X) $\times 20$
6. 在 HVc 注射 BDA 后, LoC 内的标记细胞 (After injecting BDA into HVc, labelled cells in LoC) $\times 400$
7. 在 HVc 注射 BDA 后, RA 内的标记终末 (After injecting BDA into HVc, labelled terminals in RA) $\times 80$
8. HVc 内的 SP 标记细胞 (Labeled neurons cells by Substance P in HVc) $\times 300$
9. X 内的 SP 标记纤维、终末和胞体 (Labeled neuronal fibers, terminals and bodies by Substance P in the area X) $\times 40$
10. DM、ICo 和 MLd 壳内的 SP 标记终末 (Labeled neurons terminals by Substance P in the DM, ICo and MLd shell) $\times 40$
11. nXlts 内的 SP 标记终末 (Labeled neurons terminals by Substance P in nXlts) $\times 40$
12. OV 壳内的 SP 标记终末和纤维 (Labeled neurons terminals and fibers by Substance P in the OV shell) $\times 80$

程中, SP 与其他神经调质, 如脑啡肽 (Durand et al, 1998) 等一样, 可能兴奋或抑制其他神经递质

或受体, 发挥着重要的功能, 但其作用机制尚待进一步研究。

参考文献:

- Brainard MS, Doupe AJ. 2000. Auditory feedback in learning and maintenance of vocal behaviour [J]. *Nat. Rev. Neurosci.*, 1 (1): 31-40.
- Burt JM, Lent KL, Beecher MD, Brenowitz EA. 2000. Lesions of the anterior forebrain song control pathway in female canaries affect song perception in an operant task [J]. *J. Neurobiol. Mar.*, 42 (4): 487-499.
- Doupe AJ, Kuhl PK. 1999. Birdsong and human speech: Common themes and mechanisms [J]. *Annu. Rev. Neurosci.*, 22: 567-631.
- Durand SE, Liang W, Brauth SE. 1998. Methionine enkephalin immunoreactivity in the brain of the budgerigar (*melopsittacus*): Similarities and differences and differences with respect to oscine songbirds [J]. *Comp. Neurol.*, 393 (2): 145-168.
- Liu SJ, Ju G. 1998. Substance P-link immunoreactive nerve fibers in the pars distalis of the adenohypophysis of macaque monkeys [J]. *Neurosci. Lett.*, 94: 1-4.
- Mello CV, Vates GE, Okuhata S, Nottebohm F. 1998. Descending auditory pathways in the adult male zebra finch (*Taeniopygia guttata*) [J]. *Comp. Neurol.*, 395 (2): 137-160.
- Nakanishi S. 1991. Mammalian tachykinin receptors [J]. *Annu. Rev. Neurosci.*, 14 (1): 123-126.
- Nottebohm F, Alvarez-Buylla A, Cynx J, Kim J, Ling CY, Suter R, Tolles A, Williams H. 1990. Song learning in birds: The relation between perception and production [J]. *Phil. Trans. R. Soc. (Lond.)*, 329 (1): 115-124.
- Otsuka YK. 1993. Neurotransmitter functions of mammalian tachykinins [J]. *Physiol. Rev.*, 73 (2): 229-308.
- Vates GE, Broome BM, Mello CV, Nottebohm F. 1996. Auditory pathways of caudal telencephalon and their relation to the song system of adult male zebra finches (*Taeniopygia guttata*) [J]. *Comp. Neuro.*, 366 (5): 613-642.
- Vates W, Vicario DS, Nottebohm F. 1997. Reafferent thalamo "cortical" loops in the song system of oscine songbirds [J]. *Comp. Neurol.*, 380: 275-290.
- Veenman CL, Wild JM, Reiner A. 1995. Organization of the avian "corticostriatal" projection system: Retrograde and anterograde pathway tracing study in pigeons [J]. *Comp. Neurol.*, 354 (1): 87-102.
- Zhang XW, Lan SC. 1994a. The connection of the robust nucleus of archistriatum in the telencephalon of *Carduelis spinus* by employment of HRP [J]. *Acta Anat. Sin.*, 25 (1): 28-31. [张信文, 蓝书成. 1994a. 黄雀古纹状体核的中枢联系——HRP 法研究. 解剖学报, 25 (1): 28-31.]
- Zhang XW, Lan SC. 1994b. Fiber connections of nucleus magnocellularis of anterior neostriatum and area X in *Carduelis spinus* [J]. *Acta Anat. Sin.*, 25 (2): 146-149. [张信文, 蓝书成. 1994b. 黄雀新纹状体前部巨细胞核及嗅叶 X 区的纤维联系. 解剖学报, 25 (2): 146-149.]